

РАСЧЕТ ВОЛЬТ-АМПЕРНЫХ ХАРАКТЕРИСТИК
ТЕРМОЭЛЕКТРОННОГО ПРЕОБРАЗОВАТЕЛЯ В ДИФФУЗИОННОМ
РЕЖИМЕ

В. П. Кармазин, И. П. Стажанов

(Москва)

§ 1. Постановка задачи и граничные условия. Рассматривается на-
полненный цезием плоский термоэлектронный преобразователь энергии
(ТЭП) в условиях, когда длина свободного пробега электронов l_e зна-
чительно меньше расстояния между электродами L . Степень ионизации
предполагается столь малой, что рассеяние электронов и ионов про-
исходит в основном на атомах Cs. Это предположение оправдано, если
 $n/n_a \leq 0.001$ (n, n_a — концентрации электронов и атомов). В случае,
если концентрация электронов может быть вычислена из условия тер-
модинамического равновесия, эта степень ионизации соответствует тем-
пературе $\sim 2000^{\circ}\text{K}$.

Ионы и атомы свободно обмениваются энергией, поэтому их темпе-
ратуры совпадают: $T_i = T_a$. При достаточно высоких давлениях (когда
 $l_a/L \ll 1$) температура T_i линейно меняется от катода к аноду. В ин-
тересующей нас области давлений вследствие слабого обмена энергией
между электронами и ионами температура электронов $T_e \neq T_i$. Если
температура устанавливается главным образом под влиянием кулонов-
ских столкновений, то характерное расстояние, на котором происходит
максвеллизация спектра электронов, порядка $(1/3l_k l_e)^{1/2}$, где l_k — «куло-
новская» длина свободного пробега электронов.

Если предположить, что вблизи катода имеет место локальное термо-
динамическое равновесие, то концентрация и уровень химического потен-
циала электронов у катода не зависят от материала катода, в частности
от его работы выхода. Поэтому, чтобы получить зависимость вольт-амперных
(V/I) характеристик от работы выхода катода, необходимо учесть отклоне-
ния от термодинамического равновесия на катоде, возникающие вслед-
ствие прохождения тока через ТЭП.

Для получения граничных условий на катоде рассмотрим область меж-
ду плоскостями, одна из которых проведена на расстоянии $x_1 \geq d$ от
катода, а другая — на расстоянии $x_2 \geq l_e$ (при этом дебаевский радиус
 $d \ll l_e$). Так как объемный заряд сосредоточен в области между катодом
и плоскостью x_1 , то будем считать, что между плоскостями x_1 и x_2 потен-
циал практически не меняется.

Электроны и ионы, эмиттируемые катодом (ионы возникают за счет
поверхностной ионизации), имеют максвелловское распределение с тем-
пературой катода.

Будем предполагать, что электроны, движущиеся из плазмы к катоду,
имеют максвелловское распределение с температурой, отличной от тем-
пературы катода, а ионы — максвелловское распределение с температу-
рой, совпадающей с температурой катода. Так как $d \ll l_e$, то в слое
объемного заряда частицы движутся без соударений, и функции распре-

деления на поверхности x_1 имеют следующий вид: (1.1)

$$f_e = \begin{cases} \frac{m^2 I_{e0}}{2\pi (kT')^2} \exp\left(\frac{e\Delta\varphi'}{kT'} - \frac{mv^2}{2kT'}\right) & \left(\begin{array}{l} \Delta\varphi' > 0, \sqrt{2e\Delta\varphi'/m} \leq v_x \leq \infty \\ \Delta\varphi' < 0, 0 \leq v_x \leq \infty \end{array} \right) \\ n' \left(\frac{m}{2\pi kT'_e} \right)^{3/2} \exp\left(-\frac{mv^2}{2kT'_e}\right) & \left(\begin{array}{l} \Delta\varphi' > 0, -\infty \leq v_x \leq \sqrt{2e\Delta\varphi'/m} \\ \Delta\varphi' < 0, -\infty \leq v_x \leq 0 \end{array} \right) \end{cases} \quad (1.2)$$

$$f_i = \begin{cases} \frac{M^2 I_{i0}}{2\pi (kT')^2} \exp\left(-\frac{e\Delta\varphi'}{kT'} - \frac{Mv^2}{2kT'}\right) & \left(\begin{array}{l} \Delta\varphi' > 0, 0 \leq v_x \leq \infty \\ \Delta\varphi' < 0, \sqrt{-2e\Delta\varphi'/M} \leq v_x \leq \infty \end{array} \right) \\ n' \left(\frac{M}{2\pi kT'} \right)^{3/2} \exp\left(-\frac{Mv^2}{2kT'}\right) & \left(\begin{array}{l} \Delta\varphi' > 0, -\infty \leq v_x \leq 0 \\ \Delta\varphi' < 0, -\infty \leq v_x \leq \sqrt{-2e\Delta\varphi'/M} \end{array} \right) \end{cases}$$

Здесь $\Delta\varphi'$ — разность потенциалов между поверхностью x_1 и катодом (потенциал поверхности x_1 принят за нуль), m, M — массы электрона и иона, T' — температура катода, T'_e — температура электронов у катода, n' — плотность плазмы у катода, I_{e0}, I_{i0} — потоки эмиссии электронов и ионов из катода. При выводе (1.1), (1.2) предполагалось, что потенциал в слое объемного заряда меняется монотонно.

Предположим далее, что функция распределения на поверхности x_2 совпадает с локально-максвелловской функцией с диффузионными поправками, которые определяют отличные от нуля потоки тепла и частиц. Искомые граничные условия легко получить, рассчитывая баланс числа частиц и энергии в объеме, заключенном между поверхностями x_1 и x_2 :

при $\Delta\varphi' > 0$

$$I_{e0} - \frac{n'v'_e}{4} \exp\left(-\frac{e\Delta\varphi'}{kT'_e}\right) = I_e, \quad \frac{n'v'_i}{4} = I_{i0} \exp\left(-\frac{e\Delta\varphi'}{kT'}\right) \quad (1.3)$$

$$T'_e = T' + \frac{\lambda'_e}{2kI_{e0}} \frac{dT'_e}{dx} + \frac{I_e}{I_{e0}} \frac{e\Delta\varphi'}{2k} \quad \left(v'_e = \sqrt{\frac{8kT'_e}{\pi m}}, \quad v'_i = \sqrt{\frac{8kT'}{\pi M}} \right) \quad (1.4)$$

при $\Delta\varphi' < 0$

$$\bar{I}_{e0} \exp\left(\frac{e\Delta\varphi'}{kT'}\right) = \frac{n'v'_e}{4}, \quad I_{i0} - \frac{n'v'_i}{4} \exp\left(\frac{e\Delta\varphi'}{kT'}\right) = I_i, \quad T'_e = T' \quad (1.5)$$

Здесь I_e, I_i — электронный и ионный потоки через ТЭП, штрихованные величины относятся к катоду или к области вблизи катода. При выводе этих соотношений во втором уравнении (1.3) и первом и третьем уравнениях (1.5) отброшены члены порядка l/L , так как

$$\frac{4I_{e,i}}{n'v'_{e,i}}, \quad \frac{2\lambda'_e}{kn'v'_e} \frac{dT'_e}{dx} \sim \frac{l}{L} \ll 1$$

Однако отношение

$$\frac{4I_{e,i}}{n'v'_{e,i}} \exp\left(\frac{|e\Delta\varphi'|}{kT'}\right)$$

вообще говоря, не предполагается малым. В случае, когда $|e\Delta\varphi'| \sim kT'$, в (1.3) и (1.5) можно пренебречь I_e и I_i , а в (1.4) положить $T'_e = T'$. При этом (1.3) — (1.5) сводятся к равновесным граничным условиям.

Введем параметр

$$\omega = (I_{i0}/I_{e0}) \sqrt{M/m} \quad (1.6)$$

Легко видеть, что при равновесных граничных условиях

$$\Delta\varphi' = (KT'/e) \frac{1}{2} \ln \omega \quad (1.7)$$

Если $\omega < 1$, что соответствует условию $\Delta\varphi' < 0$, то режим в прикатодной области можно назвать недокомпенсированным (ионный ток эмиссии мал по сравнению с электронным). Если $\omega > 1$ ($\Delta\varphi' > 0$), то режим будет называться перекомпенсированным (электронный ток эмиссии мал по сравнению с ионным). Необходимо, конечно, иметь в виду, что в условиях диффузионного режима работы ТЭП сколь угодно сильная перекомпенсация не может привести к возникновению объемного заряда где-либо, кроме тонкого слоя вблизи поверхности катода.

Оценим приблизительно границы ω , при которых наступают значительные отклонения от равновесного режима на катоде. При $\omega > 1$ это имеет место, если

$$\frac{1}{4}n'v_e' \exp(-e\Delta\varphi'/kT') \sim I_e$$

или, исходя из (1.7), если

$$\frac{1}{4}n'v_e' \sim I_e V_{\bar{\omega}}$$

Аналогично, для $\omega < 1$ отклонения возникают, когда

$$\frac{1}{4}n'v_i' V_{\bar{\omega}} \sim I_i$$

Так как $4I_{e,i}/n'v'_{e,i} \sim l_e/L$, то равновесные граничные условия на катоде и, следовательно, независимость VI характеристик от работы выхода катода имеют место, когда

$$(l_e/L)^2 \ll \omega \ll (L/l_e)^2 \quad (1.8)$$

На самом деле, при $\omega < 1$ отклонения от равновесного режима на катоде наступают позже, чем при $\omega > 1$. Действительно, из (1.5) получаем

$$n' = \left[\frac{16I_{e0}}{v_e'v_i'} (I_{i0} - I_i) \right]^{1/2}$$

и так как в режиме тока насыщения $I_i \rightarrow 0$, то отсюда получается равновесное значение.

Аналогично можно получить граничные условия на аноде. Необходимо только учесть, что эмиссия электронов и ионов с анода отсутствует из-за его низкой температуры. Принимая функции распределения электронов и ионов вблизи анода в виде максвелловских функций с температурами T_e'' и T_i'' (два штриха означают, что величина взята на аноде или в области вблизи анода) и вычисляя баланс числа частиц и энергии, получим:

$$I_e = \frac{n''v_e''}{4}, \quad I_i = \frac{n''v_i''}{4} \exp\left(-\frac{e\Delta\varphi''}{kT_e''}\right) \quad \text{при } \Delta\varphi'' > 0 \quad (1.9)$$

$$I_e = \frac{n''v_e''}{4} \exp\left(\frac{e\Delta\varphi''}{kT_e''}\right), \quad I_i = \frac{n''v_i''}{4} \quad \text{при } \Delta\varphi'' < 0 \quad (1.10)$$

$$Q_e = I_e (2kT_e'' - e\varphi'' - e\Phi), \quad \Phi = \begin{cases} \Delta\varphi'' & (\Delta\varphi'' < 0) \\ 0 & (\Delta\varphi'' > 0) \end{cases} \quad (1.11)$$

Здесь $\Delta\varphi''$ — разность потенциалов между анодом и плазмой у анода, Q_e — поток полной энергии электронов из плазмы в анод.

§ 2. Система основных уравнений и ее решение. Уравнения диффузии в трехкомпонентной смеси с учетом малой степени ионизации и большой разности масс электрона и иона имеют вид

$$I_e = n u_e \frac{d\varphi}{dx} - D_e \frac{dn}{dx} - D_e T_e \frac{n}{T_e} \frac{dT_e}{dx} \quad (2.1)$$

$$I_i = -n u_i \frac{d\varphi}{dx} - D_i \frac{dn}{dx} - D_i T_i \frac{n}{T_i} \frac{dT_i}{dx} \quad (2.2)$$

$$Q_e = -\lambda \frac{dT_e}{dx} + I_e (2kT_e - e\varphi) \quad (2.3)$$

Здесь $u_{e,i}$ — подвижности, $D_{e,i}$ — коэффициенты диффузии, n — концентрация плазмы, φ — потенциал, отсчитываемый от плоскости x_1 . Коэффициенты D_e и D_i , вообще говоря, несколько отличаются от обычных коэффициентов термодиффузии. Потоки I_e , I_i , Q_e постоянны в объеме, т. е. объемной ионизацией и рекомбинацией пренебрегаем.

Вследствие сложности граничных условий и зависимости коэффициентов от самих неизвестных функций (n , T_e , φ) рассматриваемую систему уравнений можно решить только численно. Приближенный метод решения с равновесными граничными условиями на катоде, основанный на пренебрежении в (2.1) и (2.2) членами, пропорциональными $dT_{e,i} / dx$, и аппроксимации $n(x)$ и $\varphi(x)$ линейными функциями, приводится в работе [1].

Ниже для получения решения уравнений диффузии используется различный характер поведения n и T_e , T_i в межэлектродном объеме. В то время как $n(x)$ уменьшается от катода к аноду примерно на два порядка, $T_e(x)$ и $T_i(x)$ изменяются в 1.5 — 3 раза. Поэтому, взяв в качестве $T_e(x)$ и $T_i(x)$ некоторые постоянные средние значения $\langle T_e \rangle$, $\langle T_i \rangle$, можно из (2.1) и (2.2) найти $n(x)$ и $\varphi(x)$. Подставляя эти n и φ в (2.3), найдем $T_e(x)$. Далее при помощи этого значения $T_e(x)$ получим новые $n(x)$ и $\varphi(x)$, которые снова подставляем в (2.3), и т. д. Именно этот способ был применен при программировании диффузационной задачи на электронную вычислительную машину. В данной работе для получения более простого, приближенного, решения используется этот же метод, но вместо $T_e(x)$ и $T_i(x)$ в уравнения (2.1) и (2.2) каждый раз подставляются величины $\langle T_e \rangle$ и $\langle T_i \rangle$, постоянные в межэлектродном пространстве. При этом $\langle T_e \rangle$ находится из решения (2.3), куда в качестве $n(x)$ и $\varphi(x)$ подставляются решения (2.1) и (2.2) при предыдущем значении $\langle T_e \rangle$. Так как T_i определяется только температурами катода и анода, то было принято

$$\langle T_i \rangle = \frac{1}{2} [T' + T''] \quad (2.4)$$

Аналогично

$$\langle T_e \rangle = \frac{1}{2} [T'_e (I_e) + T''_e (I_e)] \quad (2.5)$$

Таким образом, система дифференциальных уравнений с граничными условиями сводится к системе алгебраических уравнений, решение которой находится последовательными приближениями.

Подставим ток Ричардсона в виде

$$I_{e0} = \frac{A}{e} (T')^2 \exp\left(-\frac{eW'}{kT'}\right) \equiv \frac{1}{4} n_{ek} v_{ek} \quad \left(v_{ek} = \left[\frac{8kT'}{\pi m} \right]^{1/2} \right)$$

Перейдем к безразмерным переменным

$$\xi = \frac{x}{L}, \quad j_e = \frac{I_e}{I_{e0}}, \quad j_i = \frac{I_i}{1/4 n_{ek} v_i'}, \quad j_{i0} = \frac{I_{i0}}{1/4 n_{ek} v_i'} = \omega, \quad \psi = \frac{n}{n_{ek}}, \quad \theta = \frac{T''}{T'}$$

$$\tau_{e,i} = \frac{T_{e,i}}{T'}, \quad \Psi = \frac{e\Phi}{kT'}, \quad \Psi' = \frac{e\Phi}{kT''}, \quad \zeta_e = \frac{4D_e}{v_{ek} L}, \quad \zeta_i = \frac{4D_i}{v_i' L}, \quad s = \frac{k n_{ek} v_{ek} L}{2 \lambda_e}$$

Предполагая, что все частицы взаимодействуют как упругие шары и что λ_e определяется выражением для теплопроводности лорентцевского газа $\lambda_e = \frac{2}{3} k n v_e l_e$, получим

$$\zeta_e = \gamma_e \sqrt{\tau_e \tau_i}, \quad \zeta_i = \gamma_i \tau_i^{3/2}, \quad s = \gamma_e \nu \sqrt{\tau_e \tau_i} \quad (2.7)$$

где

$$\gamma_e = \frac{4}{3} \frac{l_e'}{L} = 6.90 \cdot 10^{-6} \frac{T'}{pL}, \quad \gamma_i = \frac{4}{3} \frac{l_i'}{L} = \gamma_e \frac{\sigma_e}{V^{2/3} \sigma_i} \quad (2.8)$$

Здесь σ_e , σ_i — сечения рассеяния электронов и ионов на атомах Cs, l_e' , l_i' — длины свободного пробега электронов и ионов вблизи катода. Давление p в (2.8) выражено в мм рт. ст. , L — в см , T' — в $^{\circ}\text{К}$. Численная постоянная в (2.8) соответствует [2] значению $\sigma_e = 2 \cdot 10^{-14} \text{ см}^2$.

Разрешая уравнения (2.1) — (2.2) относительно производных и используя (1.16), получим

$$\frac{dv}{d\xi} = -\frac{1}{\tau_i(\tau_e - \tau_i)} \left(V \overline{\tau_e} \frac{j_e}{\gamma_e} + V \overline{\tau_i} \frac{j_i}{\gamma_i} \right) \quad (2.9)$$

$$\frac{d\psi}{d\xi} = \frac{1}{v} \frac{\tau_e}{\tau_e + \tau_i} \left(\frac{j_e}{\gamma_e V \overline{\tau_e}} - \frac{j_i}{\gamma_i V \overline{\tau_i}} \right) \quad (2.10)$$

$$\frac{d\tau_e}{d\xi} = \frac{j_e}{2\gamma_e \tau_i v V \overline{\tau_e}} [2(\tau_e - \tau_e'') + \psi'' + \Psi - \psi] \quad [(2.11)]$$

Границные условия (1.3) — (1.4) на катоде ($\xi = 0$) в перекомпенсированном режиме принимают вид

$$v' V \overline{\tau_e'} \exp \left(-\frac{\Delta\psi'}{\tau_e'} \right) = 1 - j_e, \quad v' = \omega e^{-\Delta\psi'} \quad (2.12)$$

$$2(1 - j_e)(\tau_e' - 1) = j_e [\psi'' + \Psi + \Delta\psi' - 2(\tau_e'' - 1)] \quad (2.13)$$

и в недокомпенсированном режиме

$$e^{\Delta\psi'} = v', \quad v' e^{\Delta\psi'} = \omega - j_i, \quad \tau_e' = 1 \quad (2.14)$$

Напомним, что

$$\begin{aligned} v(0) &\equiv v', & \tau_e(0) &\equiv \tau_e', & \psi(0) &= 0, & v(1) &\equiv v'', \\ \psi(1) &\equiv \psi'', & \tau_e(1) &\equiv \tau_e' \end{aligned}$$

Границные условия (1.9) — (1.10) на аноде ($\xi = 1$) принимают вид

$$j_e = v'' V \overline{\tau_e''} \exp(\Delta\psi'' / \tau_e'') \quad j_i' = v'' V \overline{\theta} \quad \text{при } \Delta\psi'' < 0 \quad (2.15)$$

$$j_e = v'' V \overline{\tau_e''}, \quad j_i = v'' V \overline{\theta} \exp(-\Delta\psi'' / \theta) \quad \text{при } \Delta\psi'' > 0 \quad (2.16)$$

Из (2.9) — (2.11) и граничных условий легко видеть, что $v(\xi)$, $\psi(\xi)$, $\tau_e(\xi)$ и значения этих величин в приэлектродных областях v' , τ_e' , $\Delta\psi'$, v'' , ψ'' , $\Delta\psi''$, τ_e'' как функций тока j_e можно определить, задавая четыре безразмерных параметра $l_e' / L \sim T' / pL$, σ_i / σ_e , $\theta = T'' / T$, ω . Работа выхода катода входит только в параметр ω . Таким образом, вычисление безразмерных вольт-амперных характеристик, т. е. зависимости j_e от величины $(\psi'' + \Delta\psi'' + \Delta\psi')$, сводится только к заданию этих четырех параметров и не зависит от конкретных значений сечений рассеяния σ_e и σ_i , а также работы выхода поверхности катода в парах Cs.

Так как в уравнениях (2.9) и (2.10), согласно (2.4) и (2.5),

$$\tau_i = 1/2(1 + \theta) = \text{const}, \quad \tau_e = 1/2(\tau_e'(j_e) + \tau_e''(j_e)) = \text{const}$$

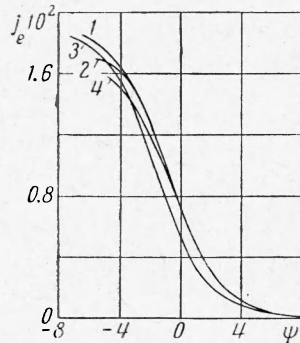
то

$$v(\xi) = v' - \alpha \xi \quad (2.17)$$

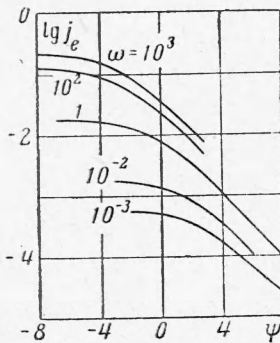
$$\psi(\xi) = (\beta / \alpha) \ln [v' / v(\xi)] \quad (2.18)$$

где через α и β обозначены постоянные в правых частях (2.9) и (2.10). Логарифмический ход потенциала легко понять, если учесть, что концентрация электронов вблизи анода очень мала, и, таким образом, большая часть напряжения падает вблизи анода.

Далее поступаем следующим образом. При фиксированном j_e задаем произвольно нулевые приближения τ_{e0}' и τ_{e0}'' . При $\omega > 1$ из (2.12) находим v_0' и $\Delta\psi_0'$. В случае $\Delta\psi'' < 0$, полагая в (2.17) $\xi = 1$ и воспользовавшись вторым из уравнений (2.15), из α и β исключаем j_i и находим v_0'' , $\Delta\psi_0''$, а из (2.18) — ψ_0'' . В случае $\Delta\psi'' > 0$ ионный ток можно определить



Фиг. 1



Фиг. 2

из выражения для α , первого уравнения (2.16) и уравнения (2.17) при $\xi = 1$. Затем находятся ψ_0'' и $\Delta\psi_0''$. Для определения последующих приближений электронной температуры запишем (2.11) в виде (k — номер приближения, $k = 0, 1, 2, \dots$)

$$\frac{d\tau_{e(k+1)}}{d\xi} = \frac{j_e}{\gamma_e \tau_i \sqrt{\tau_{ek}}} \left[\frac{\tau_{e(k+1)}(\xi) - \tau_{e(k+1)}''}{v_k(\xi)} + \frac{\psi_k'' + \Psi_k - \Psi_k(\xi)}{2v_k(\xi)} \right] \quad (2.19)$$

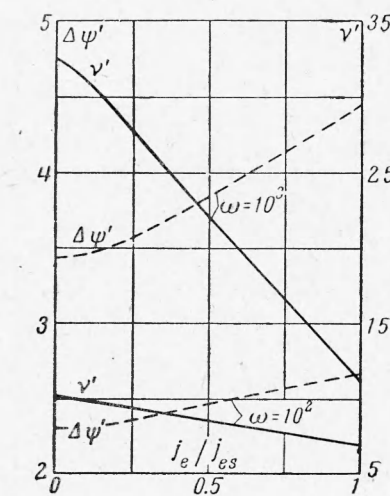
После подстановки (2.17) и (2.18) это уравнение легко интегрируется.

Полагая в полученном уравнении $\xi = 0$ (или $\xi = 1$), совместно с (2.13) получаем линейную систему двух уравнений для определения $\tau'_{e(k+1)}$ и $\tau''_{e(k+1)}$. Найденные $\tau'_{e(k+1)}$ и $\tau''_{e(k+1)}$ используем для получения v'_{k+1} , v''_{k+1} и т. д. Таким образом, для каждого значения j_e методом последовательных приближений находим соответствующие ему v' , $\Delta\psi'$, $v(\xi)$, $\Delta\psi''$, $\psi(\xi)$, $\tau_e(\xi)$.

При $\omega < 1$ из (2.14) для v'_k получаем уравнение

$$\omega - j_{ik} = (v'_k)^2 \quad (2.20)$$

Исключая отсюда ионный ток так же, как и в случае $\omega > 1$, получим для определения v'_k квадратное уравнение. Далее легко находим v'_k , $\Delta\psi'_k$, $v_k(\xi)$ и т. д. Расчет показал, что для достижения точности в 3% достаточно 3—4 итераций при подходящем выборе τ_{e0}' и τ_{e0}'' .



Фиг. 3

§ 3. Результаты расчета. Результаты расчета безразмерных VI характеристик изложенным выше методом представлены на фиг. 1—6.

На фиг. 1 дана зависимость силы тока j_e от падения напряжения между электродами $\psi = -(\psi'' + \Delta\psi'')$ при равновесных граничных условиях на катоде ($\omega = 1$).

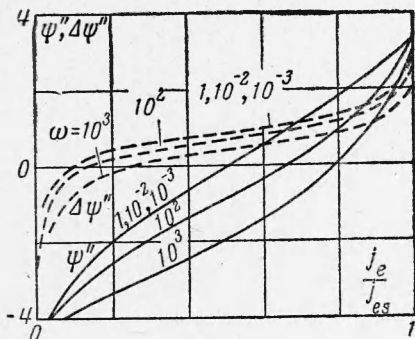
Кривые на фиг. 1 соответствуют следующим значениям параметров:

Кривая 1 2 3 4 (На фиг. 1 значения

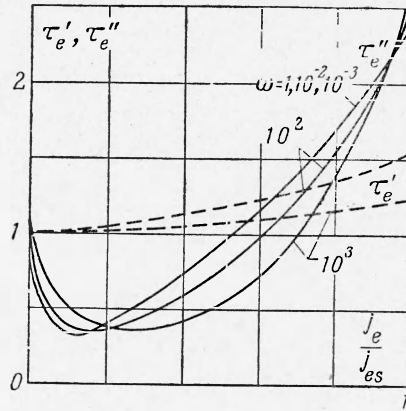
$l_e'/L = 0.01$	0.05	0.01	0.01
$\sigma_i/\sigma_e = 5$	5	25	5
$\theta = 0.5$	0.5	0.5	0.667

ординат для кривой 2 следует увеличить в 5 раз).

Ток насыщения j_{es} при увеличении l_e'/L в 5 раз возрастает примерно в 5 раз, в согласии с [1]. Увеличение σ_i в 5 раз не меняет j_{es} , но сдвигает VI характеристику влево на величину порядка kT'/e , что связано с возрастанием примерно на ту же величину прианодного барьера $\Delta\psi''$. Уменьшение отношения T''/T' с $1/2$ до $1/3$ умень-



Фиг. 4



Фиг. 5

шает j_{es} примерно на 15%. При $T' = \text{const}$ это обусловлено увеличением концентрации атомов возле анода, что приводит к увеличению сопротивления току через ТЭП. Отметим, что при равновесных граничных условиях на катоде отличие VI характеристик вычисленных таким методом, от характеристик, полученных при решении уравнений (2.1) — (2.3) на электронной вычислительной машине, составляет около 15%.

Фиг. 2—5 показывают влияние степени компенсации ω на VI характеристики и на величину плотности, температуры и потенциала у электродов (при $l_e'/L = 10^{-2}$, $\sigma_i/\sigma_e = 5$, $\theta = 0.5$). Значения v' и $\Delta\psi'$ (фиг. 3) совпадают с равновесными значениями для перекомпенсированного режима при $j_e = 0$, а для недокомпенсированного режима — при $j_e = j_{es}$ ($j_i = 0$). Следует отметить, что при выбранном в расчете значении $l_e'/L = 0.01$ диапазон изменений ω недостаточно велик, чтобы охватить сильно пере- или недокомпенсированный режимы. Как отмечалось выше, отступления от равновесного режима при $\omega > 1$ наступают раньше, чем при $\omega < 1$. В связи с этим результаты расчета с $\omega = 10^2, 10^3$ заметно отличаются от равновесных, тогда как при $\omega = 1, 10^{-2}, 10^{-3}$ они практически совпадают. В частности, в последнем случае $v' = V/\omega$ и $\Delta\psi' = 1/2 \ln \omega$. Прианодный скачок потенциала $\Delta\psi''$ (фиг. 4) меняет знак при значительно меньших токах ($j_e/j_{es} \approx 0.1$), чем падение напряжения в объеме ψ'' ($j_e/j_{es} \approx 0.55$). Величина $\Delta\psi''$ при $0.1 \leq j_e/j_{es} \leq 0.9$ порядка kT'/e , резко изменяясь лишь при $j_e/j_{es} < 0.1$ и $j_e/j_{es} > 0.9$. При $\omega > 10^2$ уже заметно отклонение хода $\psi''(j_e)$ от линейного (фиг. 4). Разогрев электронов у анода может быть очень сильным и в 1.7—2.8 раза превышать температуру катода (фиг. 5). В этих условиях возникает объемная ионизация, и ТЭП начинает работать в режиме низковольтной дуги. При тех токах, когда $\Delta\psi'' \approx 0$, величина τ_e'' достигает минимума. При этих же токах v'' также имеет минимум, что следует из граничных условий на аноде. (Заметим, что, как показали расчеты, $v''/v' \leq 10^{-2} - 10^{-3}$.)

На фиг. 6 представлены размерные VI характеристики ТЭП, вычисленные при различных значениях работы выхода катода W' . Эти характеристики получены из кривых на фиг. 2. При этом полагалось

$$\sigma_e = 2 \cdot 10^{-14} \text{ см}^2, \sigma_i = 10 \cdot 10^{-14} \text{ см}^2, A = 120 \text{ а / см}^2, V_i = 3.86 \text{ в, } W'' = 1.7 \text{ в}$$

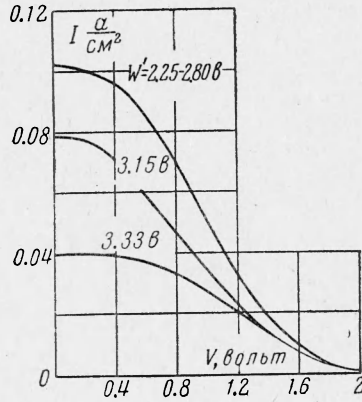
Определяя W' из выражения

$$\omega = 3.18 \cdot 10^{-5} \frac{p}{(t')^{5/2}} \exp \left(23.2 \frac{W' - 1.93}{t'} \right), \quad t' = \frac{T'}{10^3} \quad (3.1)$$

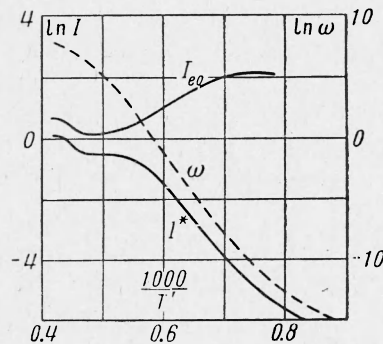
находим напряжение на нагрузке V

$$V = W' - W'' - \Delta\varphi' - \Delta\varphi'' - \varphi \quad (3.2)$$

(В выражении (3.1) p и T' соответствуют условию $l'_e / L = 10^{-2}$). Из фиг. 6 можно видеть, что в интервале $2.25 \leq W' \leq 2.80$ в VI характеристики не зависят от работы выхода катода. Однако уже при $W' = 3.15$ в ток насыщения уменьшается почти в 1.5 раза.



Фиг. 6



Фиг. 7

Из уравнения (3.2), полагая $V = 0$, можно определить зависимость тока короткого замыкания I^* от температуры катода T' (S-образная кривая). В качестве материала катода был взят вольфрам, работа выхода которого в парах Cs находилась из данных Ленгмюра [3]. Давление, межэлектродное расстояние и параметры анода принимались равными:

Таблица

$T', ^\circ\text{K}$	W', e	ω
1170	1.72	$3.33 \cdot 10^{-7}$
1270	1.86	$4.87 \cdot 10^{-6}$
1370	2.02	$6.65 \cdot 10^{-5}$
1470	2.22	$1.18 \cdot 10^{-3}$
1570	2.46	$2.61 \cdot 10^{-2}$
1670	2.70	$3.94 \cdot 10^{-1}$
1770	2.92	3.33
1870	3.14	$2.23 \cdot 10^1$
1970	3.36	$1.22 \cdot 10^2$
2070	3.55	$4.02 \cdot 10^2$
2170	3.73	$1.06 \cdot 10^3$
2270	3.86	$1.53 \cdot 10^3$
2370	4.02	$2.88 \cdot 10^3$

$$p = 1 \text{ мм рт. ст.}, \quad L = 1 \text{ мм} \\ T'' = 800^\circ\text{K}, \quad W'' = 1.7 \text{ e}$$

Значения W' и ω , вычисленные для некоторых T' , представлены в таблице. Качественно вид S-образной кривой (фиг. 7) согласуется с экспериментальными результатами. Для получения количественного согласия требуется уточнение величины сечения σ_e , а также учет кулоновских соударений. Если

$$\frac{dT'_{ei}}{dx} = 0, \quad \frac{dn}{dx} \approx \frac{n'' - n'}{L} = -\frac{n'}{L}$$

то из качественного анализа уравнений (1.6), (1.7), (2.1) следует, что наклон S-образной кривой при $\omega \ll (l'_e / L)^2$ определяется величиной работы выхода анода W'' , а при $1 \geq \omega \gg (l'_e / L)^2$ — энергией ионизации цезия.

Поступила 26 IV 1963

ЛИТЕРАТУРА

- Мойжес Б. Я., Пикус Г. Е. К теории плазменного термоэлемента. Физ. твердого тела, 1960, т. 2, 756.
- Мирлин Д. Н., Пикус Г. Е., Юрьев В. Г. Определение сечений рассеяния электронов по электропроводности слабоионизованного газа. Ж. техн. физ., 1962, т. 32, № 6, 766.
- Taylor J. B., Langmuir G. The Evaporation atoms, Ions and Electrons from Caesium Films on Tungsten.